

УДК 523.64

Основная задача МТКФ и теория кометных пылевых хвостов. II

Г. Ф. Черный

С помощью анализа рядов Бесселя — Бредихина показано, что если возраст пылинок, выброшенных ядром кометы, не превышает 20 сут, то метод Финсона — Пробстейна допускает обобщение на случай, когда необходим учет градиента силы тяжести и силы светового давления.

MTCF MAIN PROBLEM AND A COMETARY DUST TAILS PROBLEM, by Chörnny G. F.—By means of the Bessel—Bredikhin series analysis it is shown that if the age of dust grains blown out from cometary nucleus does not exceed 20 days, the Finson—Probstein method permits the generalization for the case when the gravity gradient and radiation pressure can not be neglected.

Исследования последних лет [4, 6] показывают, что бесприливное приближение (по терминологии [3, с. 198]), в рамках которого находится метод Финсона — Пробстейна [5], становится непригодным при переходе к старым ($\tau \gtrsim 30$ сут) пылевым частицам большого размера (для них μ близко к единице). Тем самым более строгий подход к изучению кометных пылевых хвостов требует учета влияния приливных сил. Покажем, что упомянутый метод поддается обобщению на этот случай.

Как и в [2, раздел 5], предположим, что кометный пылевой хвост состоит из множества сфер плотности, центры которых пребывают в плоскости (ξ, η) кометной орбиты и о форме которых можно судить по их пересечению с этой плоскостью.

Пылинки, образующие любую из таких сфер, находятся на различных расстояниях r_D от Солнца. Поэтому результирующая гравитационная сила μF_{\odot} действует на них неодинаково. Последнее в целом приводит к тому, что сфера плотности теряет сферичность, т. е. деформируется.

Формулы (12) из работы [2, раздел 3] позволяют по известным начальным данным [там же, раздел 4] выброса пылинки, которая находится на фиксированной сфере плотности, и по соответствующему этой сфере μ точно определить расстояние $\delta R = r_D - r'_D$ между центром сферы (нулевые начальные данные) и выбранной пылинкой. Из сравнения разности δR с недеформированным радиусом сферы $v_e(t - t_0)$ можно узнать, как изменился радиус сферы в направлении δR .

Но, пользуясь точными формулами (12) [2], ввиду их сложности нельзя, как было сделано в [2, раздел 5], получить простое аналитическое выражение для поправки к радиусу. Единственную возможность для этого представляет приближенное решение уравнения (2) [2] в виде ряда Бесселя — Бредихина.

На основе выкладок, приведенных в монографии Ф. А. Бредихина [1, с. 151—161], для первых членов указанного ряда получаем

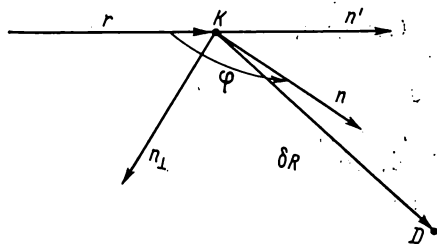
$$z = \xi + i\eta \approx -l_0 \exp(-i\varphi) - \left(v_e \exp(-i\psi) + \frac{\sqrt{\rho GM}}{r^2} l_0 i \exp(-i\varphi) \right) \tau + \\ + \left(\frac{1-\mu}{r^2} GM - \frac{2\sqrt{\rho GM}}{r^2} v_e i \exp(-i\psi) - \frac{3\mu GM}{r^3} l_0 \cos \varphi + \right.$$

$$\begin{aligned}
 & + \frac{\mu GM}{r^3} l_0 \exp(-i\varphi) + \frac{\rho GM}{r^4} l_0 \exp(-i\varphi) - \frac{2GMe \sin \theta}{r^3} l_0 i \exp(-i\varphi) \left) \frac{\tau^2}{2} + \right. \\
 & + \left[\frac{4(1-\mu)(GM)^{3/2} e \sin \theta}{r^3 \sqrt{\rho}} + \frac{2(1-\mu)(GM)^{3/2} \sqrt{\rho}}{r^4} i - \frac{3\mu GM}{r^3} v_e \cos \psi + \right. \\
 & + \frac{\mu GM}{r^3} v_e \exp(-i\psi) + \frac{3\rho GM}{r^4} v_e \exp(-i\psi) - \\
 & \left. \left. - \frac{6GMe \sin \theta}{r^3} v_e i \exp(-i\psi) \right] \frac{\tau^3}{6}, \right. \tag{1}
 \end{aligned}$$

где $l_0 = |z_0|$, $v_e = |\dot{z}_0|$, $\rho = q(1+e)$, $\varphi = \pi - \arg z_0$, $\psi = \pi - \arg \dot{z}_0$, $\tau = t - t_0$.

Из формулы (1) следует, что третьи слагаемые в скобках при τ^2 и τ^3 описывают «несимметричную» деформацию сферы плотности, а ос-

Выброс пылинки из кометного ядра K в момент $t=t_0$ в направлении \mathbf{n} ; векторная диаграмма: \mathbf{n} , \mathbf{n}' , \mathbf{n}_\perp — векторы единичной длины; \mathbf{e}_ζ — единичный орт, упомянутый в тексте, направлен вдоль оси ζ , дополняющей координатную систему (ξ, η) до трехмерной правосторонней декартовой системы координат



тальные слагаемые, куда входит параметр μ , — ее сферически симметричную деформацию. Когда μ близко к единице, слагаемые, содержащие $1-\mu$, малы — тяжелые пылинки, образно говоря, составляют расширяющиеся сферы, центры которых не улетают далеко от ядра.

Когда $l_0 \sim 10^{-5}$ а. е., а скорости v_e превышают несколько десятков метров за секунду, слагаемые ряда (1), содержащие l_0 , можно опустить. Примем в дальнейшем это предположение.

Будем считать, что $\arg \dot{z}_0 = \arg z_0$. Тогда, пользуясь аналогией (стрелка « \leftrightarrow » читается как «соответствует») $\exp(-i\varphi) \leftrightarrow -\mathbf{n}$, $i \exp(-i\varphi) \leftrightarrow -\mathbf{n}_\perp = \mathbf{n} \times \mathbf{e}_\zeta$, $\cos \varphi \leftrightarrow -(\mathbf{n}' \cdot \mathbf{n}) = -(\mathbf{r} \cdot \mathbf{n})/r$, рисунком, который поясняет принятые обозначения, а также формулой (V.3.44) из работы [3] для вектора $\delta \mathbf{R}$, получаем

$$\begin{aligned}
 \delta \mathbf{R} \approx \mathbf{v} \tau + \frac{V \rho GM}{r^2} \mathbf{v}_\perp \tau^2 + \left\{ \frac{\mu GM}{r^3} [3(\mathbf{n}' \cdot \mathbf{n}) \mathbf{v}' - \mathbf{v}] - \right. \\
 \left. - \frac{3\rho GM}{r^4} \mathbf{v} + \frac{6eGM \sin \theta}{r^3} \mathbf{v}_\perp \right\} \frac{\tau^3}{6}, \tag{2}
 \end{aligned}$$

где $\mathbf{v} = v_e \mathbf{n}$, $\mathbf{v}_\perp = v_e \mathbf{n}_\perp$, $\mathbf{v}' = v_e \mathbf{n}'$.

Первый член в фигурных скобках формулы (2) — искомое аналитическое выражение для «приливной» поправки к радиусу сферы плотности. Когда пылинка вылетает из сферы влияния кометного ядра по движению или против движения на Солнце, эта поправка наибольшая. Ею можно пренебречь, если

$$\tau^3 \ll 3r^2 \mathbf{e}_\zeta / \mu GM v_e. \tag{3}$$

Чтобы иметь представление о том, для каких τ при вычислении $\delta \mathbf{R}$ можно ограничиться членами, стоящими в правой части формулы (2), рассмотрим один конкретный пример. Комета Веста 1976 VI наблю-

далась в момент $t=15.876\ 54$ сут после прохождения перигелия ($q=0.196\ 626$ а. е.). В этот момент ее истинная аномалия $\theta(t)$ оказалась равной 107.58° , а гелиоцентрическое расстояние $r(t)=0.5634$ а. е. (по данным Ю. В. Сизоненко). Принимая $l_0=\varepsilon_{\xi}=10^{-5}$ а. е., $v_e=500$ м/с $=0.288\ 77 \cdot 10^{-3}$ а. е./сут, для δR , согласно (2), получим

$$\delta R \approx 0.288\ 77 \cdot 10^{-3} \pi \tau + 0.981\ 41 \cdot 10^{-5} n_{\perp} \tau^2 + \{0.796 \cdot 10^{-7} \mu [3(n' \cdot n) n' - n] - 1.668 \cdot 10^{-7} n + 4.555 \cdot 10^{-7} n_{\perp}\} \tau^3.$$

Заметим, что слагаемые в последнем выражении имеют характерный вид $10^{-(2m+1)} \tau^m$ для $m=1, 2, 3$. Предположим, что и для $m=4$ эта закономерность сохраняется. Тогда правая часть (2) с точностью $\varepsilon_{\xi}=10^{-5}$ а. е. будет равна δR , если $\tau \leq 10$ сут. Для скоростей $v_e \approx 31$ м/с $=0.179\ 037 \times 10^{-4}$ а. е./сут, которыми предположительно обладают крупные ($\mu \approx 1$) пылевые частицы [4], эта же точность достигается пока $\tau \leq 18$ сут.

Но приливные силы можно не учитывать, если, в соответствии с (3), возраст частиц $\tau \leq 0,263 (\mu v_e)^{-1/3}$ (примерно $4\mu^{-1/3}$ сут для мелких и 10 сут для крупных).

Отметим, что если ряд с общим членом $10^{-(2m+m_0)} \hat{\tau}^m$ сут, где m_0 — фиксированное натуральное число, мажорируется сходящимся рядом с общим членом $10^{-m_0} 2^{-m}$, то можно сказать, что его «радиус сходимости» $\hat{\tau} = 50$ сут. Если бы слагаемые в (2) убывали по указанному закону и для $m \geq 4$, то для вычисления δR с точностью ε_{ξ} понадобилось бы уже $n_{\varepsilon} = \{ \text{целая часть от } [(m_0 + \lg \varepsilon_{\xi}) / (\lg \hat{\tau} - 2)] + 1 \}$ слагаемых.

Подытоживая полученные результаты, следует отметить, что исследование структуры кометных пылевых хвостов, в состав которых входят пылевые частицы не старше 20 сут, можно вести с помощью соответствующим образом исправленного метода Финсона — Пробштейна. Характер исправлений описан выше и в [2, раздел 5]. Практически достаточно учесть кориолисов поворот сферы плотности в плоскости кометной орбиты, а также центробежное и приливное изменение ее радиуса.

Для определения положения пылинок, покинувших область влияния кометного ядра более 20 сут назад, необходимо пользоваться точными формулами [2, (4—7)], если $\mu=0$, или формулами [2, разделы 3, 4] в общем случае.

1. Бредихин Ф. А. О хвостах комет. — М.; Л.: Гостехиздат, 1934. — 280 с.
2. Черный Г. Ф. Основная задача МТКФ и теория кометных пылевых хвостов. I // Кинематика и физика небес. тел. — 1986. — 2, № 5. — С. 51—57.
3. Шульман Л. М. Динамика кометных атмосфер. Нейтральный газ. — Киев: Наук. думка, 1972. — 244 с.
4. Fertig J., Hechler F., Schwehm G. Navigation to a target hidden in dust: comet Halley's nucleus // ESA Bull. — 1984. — N 38. — P. 36—41.
5. Finson M. L., Probststein R. F. A theory of dust comets // Astrophys. J. — 1968. — 154, N 1. — P. 327—380.
6. Keller H. U., Richter K., Schmidt H. U., Hildner E. Dust particles in the anomalous tail of comet Kohoutek (1973 XII) // Cometary Exploration / Ed. by T. I. Gombosi. — Budapest: Hungarian Acad. Sci. Publ., 1983. — 2. — P. 153—158.